т. X X I, № 8, 1968

#### Р. А. ЗАХАРЯН, Т. В. ВЕНКСТЕРН, А. А. БАЕВ

# N(1)-МЕТИЛ-АДЕНОЗИНТРИФОСФОРНАЯ КИСЛОТА, ПОЛУЧЕНИЕ И БИОЛОГИЧЕСКИЕ СВОЙСТВА

В этой работе поставлена задача разработать метод получения N(1)-метил-ATФ и установить, какое значение имеет метилирование ATФ для двух энзиматических реакций.

- (1) аминокислота + AT $\Phi \rightleftharpoons$  аминоациладенилат + PP неорг.
- (2)  $(\text{тРНК})-\text{С}-\text{С}_{\text{он}}+\text{АТФ}\rightleftarrows(\text{тРНК})-\text{С}-\text{С}-\text{А}_{\text{он}}+\text{РР},$  из котоых первая катализируется аминоацил тРНК-лигазами (К.Ф.6.1.1), а торая—тРНК-нуклеотидил-трансферазами (К.Ф.2.7.7.25).

**Методы. Получение т-РНК.** Препарат суммарной т-РНК из пекарских дрожжей получали фенолцетавлоновым методом, описанным ранее [6, 3]. Активирование аминокислот определяли по [17].

Гидроксамат (Куханова и др. [5]) разделяли восходящей хроматографией в 0,05—0,1 М Na<sub>2</sub>HPO<sub>4</sub>pH 7,0. Свободная аминокислота движется с фронтом растворителя. Rf гидроксамата равен приблизительно 0,5.

Радиоактивность измеряли на карботриметре в жидком сцинтилляторе: 0,4% РРО и 0,010 РОРОР в толуоле. Эффективность счетчика—40%. т-РНК-нуклеотидил-трансферазная реакция была использована для регенерации концевого акцепторного аденилила, поскольку т-РНК пекарских дрожжей содержит только от 25 до 50% концевого аденозина.

В этом случае поступали так же, как при определении акцепторной способности т-РНК [6], используя рН 5 фракцию в качестве источника т-РНК-нуклеотидил-трансферазы. Получение бессолевого гидроксиламина по [17], определение концевого аденозина и концевого цитидина проводили по нашей методике [4].

Результаты опытов. Получение N(1)-метил-аденозинтрифосфорной кислоты. Насколько нам известно, получение N(1)-метил-аденозинтрифосфорной кислоты с помощью диметилсульфата до сих пор не было описано, хотя N(1)-метил-АМФ была синтезирована Бруксом и Лоули [18, 9] Гриффином и Ризом [15]. При выборе способа получения N (1)-метил-АТФ был использован предшествующий опыт метилирования тРНК [4], используя диметилсульфат при слабокислом рН. При этом нужно было считаться с возможностью метилирования фосфатных остатков АТФ.

По данным Бримакомбе и др. [8], межнуклеотидные диэфиры фосфорной кислоты недоступны действию диметилсульфата. Метилирование первичной и вторичной группы концевого фосфата АТФ в какой-то стелени может происходить. На это указывают Гриффини и Риз, которые

получили с помощ:ю ДМС N (1)-метил-АМФ с небольшой примесью ее монометилового эфира [15].

При изучении ЯМР комплекса АТФ-металл, дисперсии оптического вращения и инфракрасных спектров ряд авторов [13, 16, 10] считает вероятной модель АТФ, сформулированную в свое время Сент-Дьердьи [20]. Если это справедливо, то введение в реакционную смесь Mg<sup>++</sup> могло бы существенно повысить специфичность метилирования за счет блокирования диссоциированных групп концевого фосфата и образования координационных связей с аминогруппой при С(6) и N(7) аденина.

Нужно заметить, что  $Mg^{++}$  улучшает условия осаждения метилированной и неметилированной  $AT\Phi$  спиртом (первоначально для этой цели мы пользовались NaCl в кислой среде).

Метилирование АТФ. 100 мг натриевой соли АТФ растворяли в 150 мл 0,4 М раствора ацетата калия, содержащего Мg<sup>++</sup> в концентрации 0,01 М. Добавляли 2 мл перегнанного диметилсульфата и реакцию вели при 4° в течение 24 часов. Метилированную АТФ и остаток непрореагировавшей АТФ осаждали, добавляя к реакционной смеси 800—1000 мл абсолютного этанола, охлажденного до 4°. Осадок оставляли на 12 час. в холодной комнате.

Опыт показал, что  $Mg^{++}$  не ингибирует метилирование аденина по N(1), в то время как, например, метилирование гуаниловых остатков по N(7) в составе тРНК [4] заметно угнетается  $Mg^{++}$ , нужно думать, в связи с тем, что N(7) гуанина является наиболее вероятным местом присоединения металлов [7, 11].

Выделение 1-метил-АТФ. Осадок отделяют центрифугированием на низкооборотной центрифуге или фильтрованием через ультрафильтры. Затем осадок растворяют в минимальном объеме дистиллированной воды и наносят на колонку с ДЕАЕ-сефадексом (ацетатная форма). Для 100 мг АТФ пользуются колонками 15×1,5 см. Элюцию ведут в линейном градиенте 0,02—0,35 М ацетатом аммония в 7 М мочевине при рН 7,0; объем элюента 500 мл; скорость пропускания довольно высокая—120 мл/час. В случае разделения 300—400 мг используют колонки размером 20×3 см, объем элюента 1800 мл, скорость пропускания 200 мл/ч. В этой системе 1-метил-АТФ и АТФ разделяются полностью; как показывает хроматографический профиль на рис. 1, 1-метил-АТФ (пик 1) снимается значительно раньше неметилированной АТФ (пик 2). Причина этого заключается в уменьшении суммарного заряда молекулы метилированной АТФ за счет протонизации N(1) аденина даже при нейтральной реакции.

Фракции, соответствующие пику 1, объединяют, разводят в 3 раза для уменьшения концентрации солей и пропускают через колонку с дау-эксом 1×4 (формиатная форма). Это делают с целью освобождения раствора от мочевины, мешающей при осаждении 1-метил-АТФ спиртом. Последнюю элюируют 40—50 мл 2 М формиата аммония непосредственно в 500 мл (8—10 объемов) охлажденного до 4° абсолютного этанола. При добавлении Mg ++ до 0,01 М концентрации выпадает хлопьевид-

ный осадок, который несколько раз промывают на ультрафильтре абсолютным спиртом и высушивают затем в вакуум-эксикаторе. Выход 1-метил-ATФ—30%.

Таким же образом можно поступить с  $AT\Phi$ , содержащейся в пике 2. Идентификация 1-метил- $AT\Phi$ . При идентификации 1-метил- $AT\Phi$  был использован известный феномен миграции метильного остатка с N (1) аденина на  $NH_2$ -группу в щелочных условиях. Для этого 1-метил- $AT\Phi$  подвергают гидролизу в 1 н HC1 в течение часа при  $100^\circ$ , получал 1-метиладенин. Отбирают аликвот гидролизата и подвергают его воздей-

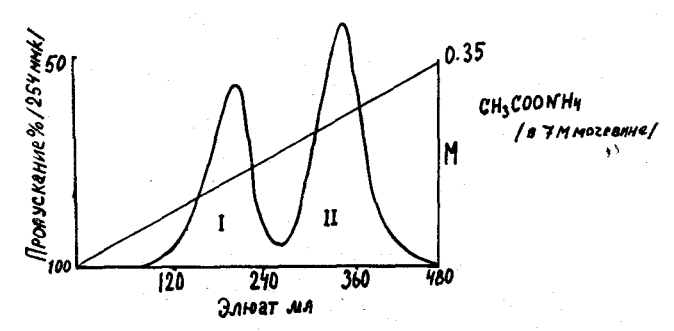


Рис. 1. Хроматография N (1)-метил-аденозинтрифосфорной кислоты на ДЕАЕ-сефадэксе. Колонка с сефадэксом A-25 (ацетатная форма)  $10\times1$  см, сорбировано 3 мг препарата. Линейный градиент 0.02-0.35 М  $CH_3COONH_4pH$  7.0 в 7 М мочевине; объем элюента 500 мл. Скорость пропускания 120 мл/час; запись на "Увикорде" LKB. 1—1-метил-АТФ:  $\Pi$ -АТФ. В препаративном масштабе основным пикам 1-метил-АТФ и АТФ предшествуют соответственно в  $5-8^{\circ}/_{0}$  1-метил-АДФ и АДФ.

«ствию 1 н КОН при 100° в течение 1 часа; при этом получают 6-метиладенин. Затем хроматографируют на бумаге пробу кислотного гидролиза 1-метил-АТФ и пробу после щелочной обработки наряду с растворами аутентичного аденина и 6-метиладенина (рис. 2).

Результаты хроматографии не оставляют сомнений в том, что мы имеем дело с 1-метиладенином и 6-метиладенином. Кроме того, идентификацию проводили в системе метанол—HCl—вода (70:20:10).

На рис. 3 показаны спектры поглощения 1-метиладенина и 6-метиладенина, полученных из 1-метил-АТФ; эти спектры совпадают с приведенными в литературе [2].

Определение молярного отношения P: аденин (последний определяли по поглощению) в 1-метил-АТФ дало значение 3:1. Нужно заметить, что присутствие полифосфатной группы 1-метил-АТФ существенно облегчает миграцию метила с N(1) на  $NH_2$ -группу при C(6). Если в случае 1-метиладенина для этого необходимо 1 н KOH и  $100^\circ$ , то миграция метила в 1-метил-АТФ происходит в 0,3 н KOH при  $37^\circ$ .

Функциональные свойства N(1)-метил-АТФ. Как было нами показано, N (1)-метил-АТФ не обеспечивает аминоацилирования нативной т-РНК [4], из этих данных не следует, что препятствия возникают только на стадии присоединения аминоациладенилата к т-РНК. Это вполне

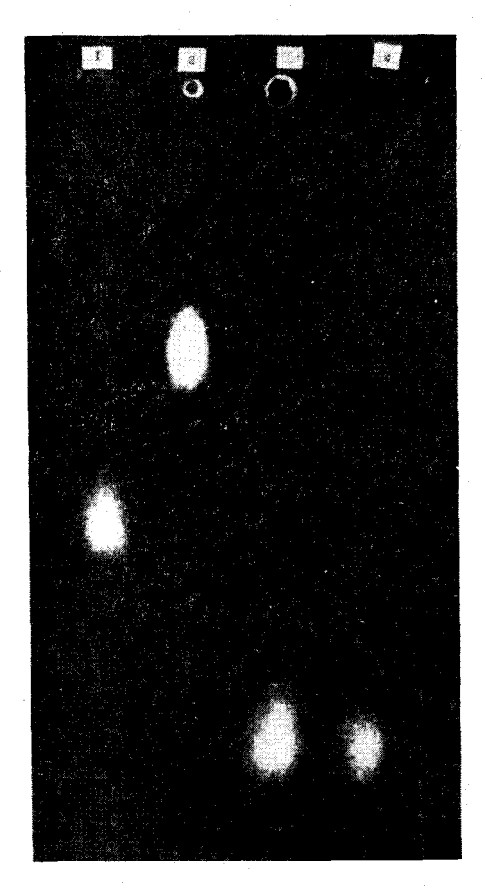


Рис. 2. Хроматография на бумаге N (1)-метиладенина. Растворитель H-буганол- $H_2O$  (84:16)— $5^0/_0$ -й NH $_4OH$  на дне хроматографического сосуда. 1—аденин, 2(-)1— метиладенин, после гидролиза 1-метил—АТФ в 1 н HCl 1 час при  $100^\circ$ ; 3—6—метиладенин—продукт превращения N-метиладенина АТФ после инкубации в 1 н КОН, 1 час при  $100^\circ$ ; 4—6—метиладенин (свидетель).

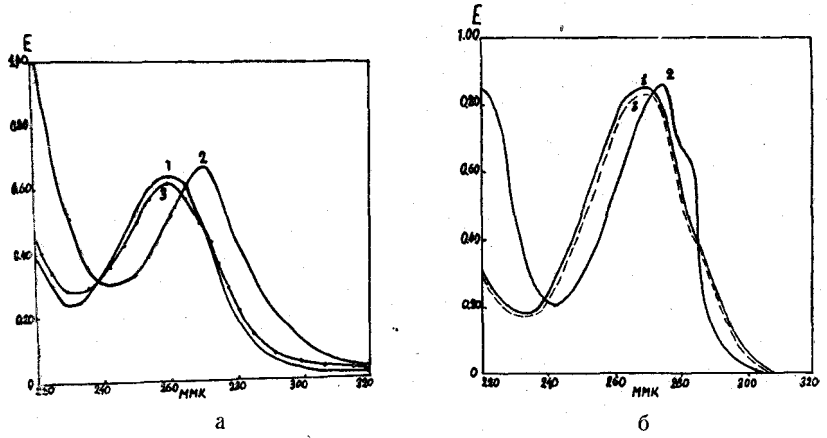


Рис. 3. Спектры поглощения метилированных аденинов. а—1 метиладенин; 6—6-метиладенин. 1—в 0,1 н НСI; 2—в 0,1 н КОН; 3—после бромирования.

Габлица 1 Спектральные характеристики 1-метиладенина и 6-метиладенина приведены в таблице

	1-метил	ı <b>а</b> денин	6-метиладенин		
Характеристика	в 0,1 н НС1	в 0,1 н, КОН	в 0,1 и, НС1	в 0,1 н, КОН	
λ макс (ммк) λ мин (ммк) Е 250/Е 260 Е 280/Е 260 Е 290/Е 260	259 230 0,82 0,36 0,14	270 242 0,70 0,92 0,56	267 232 0,63 0,74 0,37	273 239 0,54 1,16 0,23	

может произойти на предшествующем этапе активирования аминокислоты.

С этой целью были поставлены опыты с активированием С<sup>14</sup>-валина в присутствии обычной и метилированной АТФ в системе, описанной Лофтфильдом и Эйгнером [17] с небольшими изменениями, внесенными Кухановой и др. [15] (табл. 2).

	Образование гидроксамата С <sup>14</sup> -валина		
Система	имп/мин	0/0	
Система с АТФ	7300	100	
Система с АТФ +	7500	100	
Система с N (1)-метил-АТФ · · · ·	1800	25	

Таким образом, метилирование ATФ по N(1) резко угнетает активирование валина, и отрицательный результат спыта, представленного в (4), зависел прежде всего от выключения реакции, предшествующей аминоацилированию—т-РНК. Далее, наше внимание было направлено на т-РНК-нуклеотидил-трансферазную реакцию, протекающую с участием метилированной по N(1) ATФ.

Для этого не пришлось прибегать к пирсфосфоролизу т-РНК, так как препараты суммарной т-РНК обычно содержат значительное количество нуклеиновой кислоты, лишенной концевого аденозина. В наших препаратах т-РНК из пекарских дрожжей обычно только 20% вещества содержало концевой аденозин, в 80% обнаруживался в концевом положении цитидин. Грей и Лейн [14] указывают, что т-РНК пекарских дрожжей в противоположность пивным особенно легко теряет концевой аденозин (табл. 3).

Система регенерации акцепторной последовательности т-РНК описана выше. Различия проб касаются только препарата АТФ. АТФ+ препарат, полученный при разделении на колонке АТФ после метили-

				Таблица	3
Включение N (1)-метил-АТФ	В	концевое	положени е	нативной т-РНК	:

Система	Концевой нуклеотидил		
Система	Аденозин	<sup>0</sup> / <sub>0</sub> Цитидин	
Исходная,РНК	20	80	
Полная система с АТФ	75	25	
Полная система с АТФ+ · · · · ·	75	25	
Полная система с (1)-АТФ · · · · .	13	87	

рования; он представляет собой аденозинтрифосфат, оставшийся неметилированным, но тем не менее подвергнутый той же обработке, что и метилированный.

Таким образом, нам не удалось получить т-РНК, метилированную только по концевому аденозину путем энзиматического включения в  $\tau$ -РНК N(1)-метил-АТФ. Этот путь оказался для нас закрытым, по крайней мере, в своем простейшем варианте.

Тем не менее полученные данные, хотя и имеют отрицательный характер, но представляют интерес, отчасти проливая свет на неясный вопрос об энзимсубстратных реакциях.

### Выводы

Описаны синтез и выделение N (1)-метил-аденозинтрифосфорной кислоты.

Метилирование АТФ по N(1) блокирует образование энзимсубстратного комплекса с т-РНК-нуклеотидил-трансферазой (К.Ф.2.7.7.25) и аминоацил—т-РНК-синтетазой (К. Ф.6.1.1.).

Поэтому N(1)-метил- $AT\Phi$  не поддерживает реакции активирования аминокислот и переноса аденилила с N(1)-метил- $AT\Phi$ — в концевое положение  $\tau$ -PHK.

Вероятно, N(1) в ATФ непосредственно участвует в образовании энзимсубстратных комплексов.

Институт молекулярной биологии АН СССР

Поступило 1.VIII 1967 г.

Ռ. Ա. <u>ՉԱՔԱՐՑԱՆ, Տ. Վ. ՎԵՆԿՍՏԵՐՆ, Ա. Ա. ԲԱԵՎ</u>

## N (1)-ՄԵԹԻԼԱԴԵՆՈԶԻՆԵՌՖՈՍՖՈՐԱՅԻՆ ԹԹՈՒՆ, ՆՐԱ ՍՏԱՑՈՒՄԸ ԵՎ ԿԵՆՍԱԲԱՆԱԿԱՆ ՀԱՏԿՈՒԹՅՈՒՆՆԵՐԸ

# Ամփոփում

Հոդվածում նկարագրված է N (1)-մեթիլ-ԱԵՖ թթվի սինթեզը և նրա անջատումը։ Յույց է տրված, որ N (1)-մեթիլ-ԱԵՖ-ա թթուն չի ապահովում ամինաթթուների ակտիվացումը և տրանսպորտային ՌՆԿ-ի պիրոֆոսֆորոլիզը։ Հավանաբար N (1) ԱԵՖ ԹԹվում անմիջականորեն մասնակցում է ֆերմենտսուբստրատային միացման ստեղծմանը։

#### ЛИТЕРАТУРА

- 1. Венкстерн Т. В. Успехи биологической химии, 6, 3, 1964.
- 2. Венкстерн Т. В., Баев А. А. Атлас «Спектры поглощения минорных оснований», Наука, 1965.
- 3. Захарян Р. А., Баев А. А. Биологический журнал Армении, XIX, 2, 71, 1966.
- 4. Захарян Р. А., Венкстерн Т. В., Баев А. А. Биохимия, 32, 5, 1068, 1967.
- Куханова М. К., Парин А. В., Киселев Л. Л., Биохимия, 32, 735, 1967.
- 6. Мирзабеков А. Д., Венкстерн Т. В., Баев А. А. Биохимия, 30, 825, 1965.
- 7. Antony T. Tu, Jose A. Reinosa Biochemistry 5, 10, 3375, 1966.
- 8. Bricamombe R. L. C., Griffin B. E., Haslam W. E., Reese C. B. Biochemistry, 4, 2452, 1965.
- 9. Brookes P., Lawley P. D., J. Chem. Soc., 539, 1960.
- 10. Cohn M., Hyghes I. R. T. J. Biol. Chem., 237, 178, 1962.
- 11. Daune M., Dekker C. A., Shachmann H. K. Biopolimers, 4, 51, 1966.
- Egami F., Takahasi K., Uchida F. Progress in nucleic acid research, vol. 3, 59, 1964.
- Epp A., Ramasarama T., Wetter L. T. J. Am. Chem. Soc. 80, 724, 1958.
- 14. Gray M. W., Laane B. G. Biochem. Biophys. Acta, 134, 243, 1967.
- 15. Griffin B. E., Reese B. Biochem. Biophys. Acta, 68, 185, 1963.
- 16. Levedahi B. H., James T. W. Biochem. Biophys. Acta, 21, 298, 1956.
- 17. Loftfield R. B., Eigner E. A. Biochem. Biophys. Acta, 72, 372, 1963.
- 18. Lawley P. D., Brookes P. Biochem. J., 80, 496, 1961.
- 19. Michelson A., Pochon F. Biochem. Biophys. Acta, 114, 468, 1966.
- Szent-Gyorgyi A. Introduction to a Submolecular Biology, Academic Press, New York, 1960.